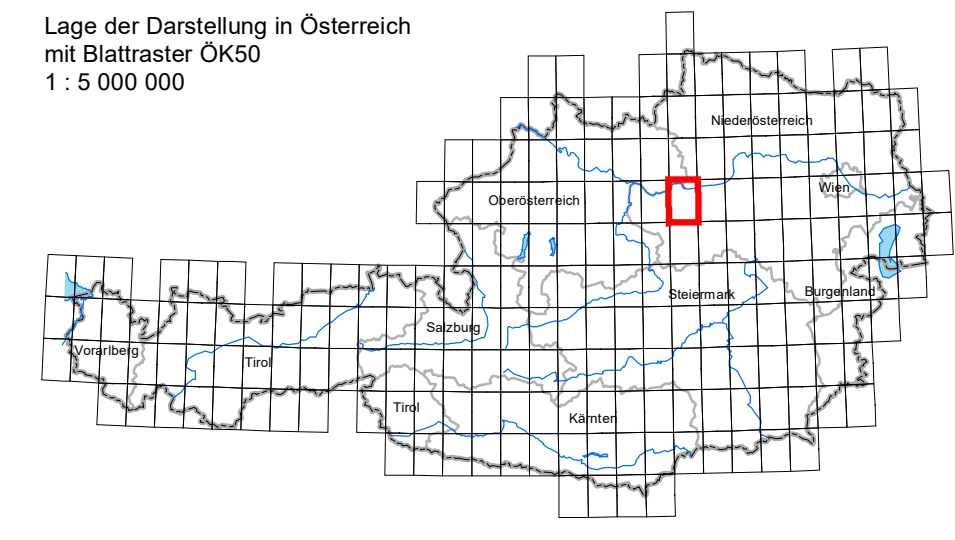
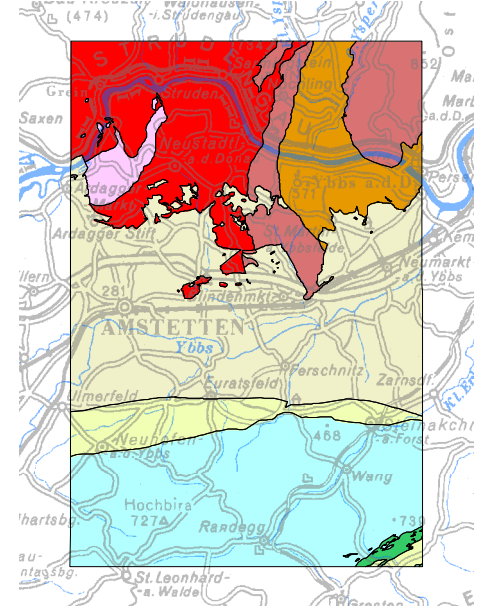


Lage der Darstellung in Österreich
1:5 000 000



Geologisch-tektonische Übersicht 1: 400 000

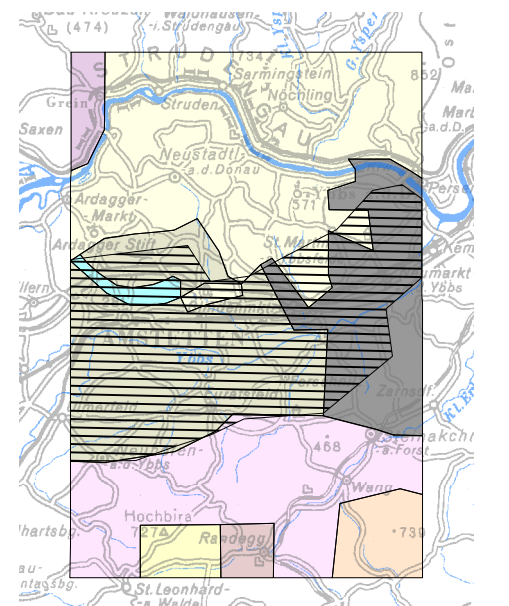


- | | |
|--|--|
| <p>Alpidisches Orogen</p> <ul style="list-style-type: none"> Alocthone Molasse Peninikum Rhodanubisches Deckensystem Helvetikum, Ultrahelvetikum, "Klippenzonen" Ultrahelvetikum | <p>Moldanubikum</p> <ul style="list-style-type: none"> Südböhmischer Batholith Bavarikum (Bavarisches Massiv) Moldanubische Decken Gföhl-Deckensystem Ostong-Deckensystem ("Monotone Serie") |
|--|--|
- Eurasische Platte**
- Autochthone Molasse und oligozän-neogene Sedimente auf der Böhmisches Masse (informell 2012/127)
 - Autochthone Molasse und oligozän-neogene Sedimente auf der Böhmisches Masse / Känozoische Sedimente des Europäischen Vorlandes
 - Autochthone Molasse und oligozän-neogene Sedimente auf der Böhmisches Masse / Känozoische Sedimente des Europäischen Vorlandes

Entfällt im Verlag der Geologischen Bundesanstalt - www.geologie.ac.at, A-1030 Wien, Neulinggasse 38.
© 2019 Geologische Bundesanstalt für den Datensatz und alle abgeleiteten Produkte.
Topografie © BEV - 2019. Vervielfältigt mit Genehmigung des BEV - Bundesamtes für Eich- und Vermessungswesen in Wien, N 53700/2019.

Projektleiter: H. G. Krenmayr,
Redaktion: W. Pavlik,
GIS-Datenbank: I. Bayer,
Layout: I. Bayer

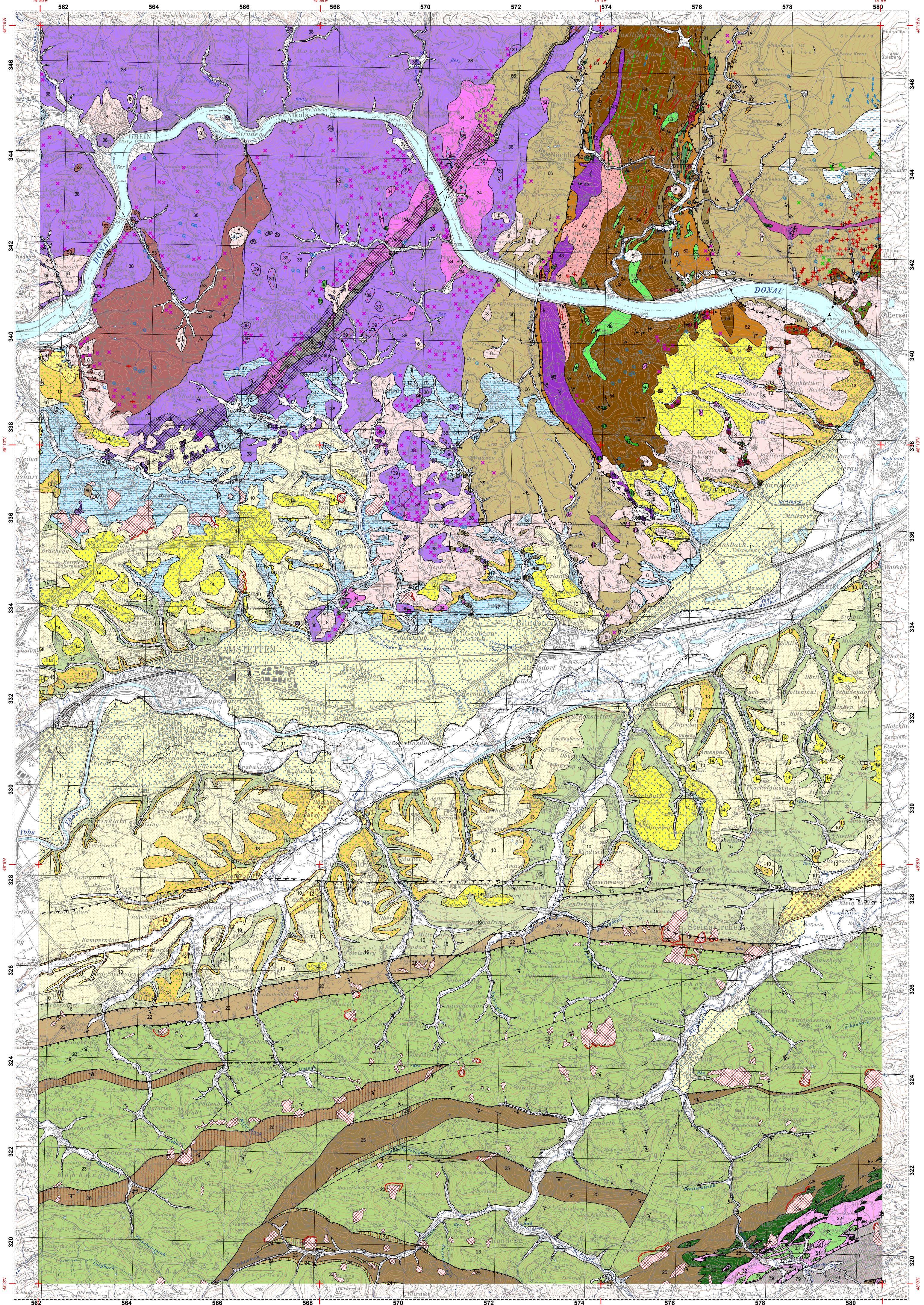
Übersicht der eingearbeiteten Karten



Kompilation:
M. Moser & M. Linner (GBA, 2019)

Unter Verwendung von:
Amt der Oberösterreichischen Landesregierung und
Amt der Niederösterreichischen Landesregierung

Hinweis für Nutzer:innen
GEOFAST-Karten werden überwiegend aus Archivunterlagen der Geologischen Bundesanstalt erstellt. Ergänzend können auch publizierte Karten, meist älteren Datums, in die Zusammenstellung einfließen. Eine Überprüfung durch zusätzliche Geländebegangehen erfolgt nicht. Diskontinuitäten zwischen den verwendeten Kartenunterlagen verschiedener Autoren werden bewusst beibehalten und können sich als Sprünge in den Konturlinien äußern. Geologische Inhalte werden in die aktuellen stratigraphischen und tektonischen Modelle überführt. Aufgrund der Übertragung der geologischen Inhalte von Karten mit veralteter Topografie und größeren Maßstäben in die aktuellere topografische Grundlage sind Lagegenauigkeiten vorhanden.



- QUARTÄRE SEDIMENTE UND FORMEN**
- 1 Anthropogene Ablagerung (Anschüttung, Verfüllung, Halde etc.)
 - 2 Bach- oder Flussablagerung, Austufe größerer Gerinne (Schluff, Sand, Kies)
 - 3 Ton, Sand, Schotter und Lehm entlang von Wasserläufen
 - 4 Erosionskante
 - 5 Vernässung, Anmoor, Niedermoor
 - 6 Hangschutt-Ablagerung
 - 7 Schwemmfächer, Murkegel (Silt, Sand, Kies, Steine)
 - 8 Umlagerungslehm, Verwitterungslehm (periglaziale Fließerde, Solifluktuationsboden)
 - 9 Rutschhang, Fließerde, Rutschmasse, Hangrutschung, Kriechhang, Hangfließen, Bergschliff
 - 10 Abrisskante
 - 11 Löss und Lösslehm
 - 12 Niederterrasse (Konglomerat, Kies, Sand, Schluff; Würm)
 - 13 Hochterrasse (Konglomerat, Kies, Sand, Schluff, Löss-Lehm-Decke; Riß)
 - 14 Jüngere Deckenschotter (Kies, Sand, Konglomerat, lokal mit Lehmdecke; Mindel)
 - 15 Ältere Deckenschotter (Kies, Sand, Konglomerat, stark verwittert, lokal mit Lehmdecke; Günz)
 - 16 Prägünzzeitliche Restschotter, Höherenterrassen und Verebnungsflächen (Quarz- und Kristallinschotter; Früh-Pleistozän)
- AUTOCHTHONE MOLASSE UND OLIGOZÄN-NEOGENE SEDIMENTE AUF DER BÖHMISCHEN MASSE / KÄNOZOISCHE SEDIMENTE DES EUROPÄISCHEN VORLANDES**
- 15 Sandstreifenschlier (Schluff und Tonmergel, feinsandig, mit Kalksandsteinlagen, marin; Eggenburgium - Oltmann)
 - 17 Älterer Schlier (Tonmergel, siltig, dunkel und Merzlagen, marin; Eggenium)
 - 18 "Linz-Malk - Formation" (Quarzsand, Arkose, marin; Kiscellium - Egerium)
 - 19 Pielach-Formation (schwarzer und bunter Ton, Immsch-brackisch; Kiscellium - Egerium)
 - 20 Quarzit von Ardagger Stift
- ALLOCTHONE MOLASSE**
- 16 Hall-Gruppe (Tonmergel, Mergel, feinsandig, Sandstein, grobkörnig, Feinkonglomerat, marin; Eggenburgium)
 - 20 Rogatsboden-Formation (Feinschichtige Tonmergel mit Sandstein- und Konglomeratlagen, Lithothamnienkalk und -mergel; Oberes Eozän - Unteres Oligozän)
- PENNINIKUM**
- Rhodanubisches Deckensystem**
- 22 Wolfpassing-Formation (Kalkmergel, dünnbankiger Kalksandstein; Unterkreide)
 - 23 Allertbach-Formation (Quarz-Glimmer-Sandstein, dickbankig, Kalksandstein, turbiditisch; Kalkmergel, Tonstein; Maastrichtium - Thanetium)
 - 24 Perneck-Formation (Tonstein, grün und rot, Siltstein, dünnbankig; Campanium)
 - 25 Röttenbach-Subgruppe (Piesenkopf-Formation, Kalkgraben-Formation, Hältritz-Formation; Kalkmergel, Kalksandstein; Campanium)
 - 26 Kalkgraben-Formation, Perneck - Formation (grauer Kalkmergel und Kalksandstein, bunter Tonstein; Campanium)
 - 27 Tiefere Flyschschichten (Neokom-Flysch, Gault-Flysch, Reisselsberg-Formation; Neocomium - Coniacium)
 - 28 Reisselsberg-Formation (Quarzsandstein, glimmerreich, kalkig, mittel- bis grobkörnig; Cenomanium - Turonium)
- HELVETIKUM, ULTRAHELVETIKUM, "KLIPPENZONEN"**
- Ultrahelvetikum**
- 31 "Paläogene Buntmergelerde, Wildflysch" (Tonmergel, Quarz- und Glaukonit Sandstein mit Nummuliten, Konglomerat mit Granit- und Tonalitgeröllen; Eozän)
 - 32 "Buntmergelerde" (Bunte Tonmergel, Tonsteine, z.T. mit Blockeinstreuung; Oberkreide - Paläogen)
 - 33 "Glaukonit Sandsteinserie" (Grüne Glaukonit Sandsteine, dunkle Tonsteine und Glaukonit Quarzite; Aptium - Abium)
 - 34 Schuppenzone aus Buntmergelerde, tiefere Flyschschichten und allocthone Molasse (Kreide - Paläogen)
- MOLDANUBIKUM**
- 73 Verquarzung an Störung
 - 72 Mylonit (heller, mylonitischer Schiefer und heller, verquarzter Granitgneis)
 - 51 Lamprophy, Dioritporphyrit
 - 46 Granitporphyr
- Südböhmischer Batholith**
- 48 Feinkorngranitgänge
 - 36 Feinkorngranit mit Partien von Weinsberger Granit
 - 37 Feinkorngranit mit Resten von Paragneis
 - 34 Feinkorngranite i.a. (fein- bis mittelkörniger, heller Biotitgranit, Granodiorit, Pennsylvanium)
 - 35 Diorit, untergeordnet Gabbro
 - 41 Mikroklingring (massig, grobkörnig, glimmerarm, idiomorpher Kalifeldspat)
- Bavarikum (Bavarisches Massiv)**
- 49 Pegmatit, Apit
 - 50 Metablastischer bis diatektischer Paragneis, Relikte von biotitreichem Paragneis ("Perlgneis")
- Moldanubische Decken**
- Gföhl-Deckensystem**
- 60 Serpentin, selten mit Schollen aus Granat-Pyroxenit
 - 62 Granulit, Granat und Kyanit führend
 - 61 Mylonitischer Paragneis
 - 63 Migmatitischer Paragneis im Kontakthof um Rastenberg Granodiorit
 - 64 Granitgneis
 - 65 Amphibolit, gebändert (Rehberger Amphibolit)
 - 66 Amphibolit
 - 67 Migmatitischer Paragneis, metablastisch, häufig Granat und Sillimanit führend, bitrich mit Amphibolitlagen
 - 68 Kalksilikatgestein, Einschaltungen im Paragneis
- Ostong-Deckensystem ("Monotone Serie")**
- 69 Serpentin
 - 70 Eklogit, stark überprägt
 - 71 Mylonitischer Orthogneis
 - 72 Heller Orthogneis, teilweise migmatisch, meist Sillimanit und Granat führend
 - 73 Mylonitischer Paragneis
 - 74 Paragneis, teilweise migmatisch, biotitreich, Cordierit- und Sillimanit führend
 - 75 Kalksilikatgestein, Einschaltungen im Paragneis
- Diverse Zeichen**
- 76 Kataklastit
 - 77 Störung (gesichert)
 - 78 Störung (vermutet)
 - 79 Deckengrenze (gesichert)
 - 80 Deckengrenze (vermutet)
 - 81 Deckengrenze überkippt (gesichert)
 - 82 Deckengrenze überkippt (vermutet)
 - 83 Schuppenzone (gesichert)
 - 84 Schuppenzone (vermutet)
 - 85 Streichen und Fallen der Schieferung und Schichtung
 - 86 5 - 30°
 - 87 30 - 60°
 - 88 60 - 85°
 - 89 85 - 90°
 - 90 Streichen und Fallen der Faltenachsen oder Lineationen
 - 91 5 - 15°
 - 92 15 - 30°
 - 93 30 - 55°
 - 94 55 - 85°
 - 95 Sonstige
 - 96 Steinbruch
 - 97 Quelle
- 1:50 000 (1 cm ≙ 500 m)
- Gauß-Krüger-Abbildung, Koordinatensystem M 34 des Bundesmeternetzes